

1-芘丁酸人工抗原的制备及鉴定

孔蒙蒙^{1,2,3}, 黄忠民^{1,3}, 邓瑞广², 索标^{1,3},
刘情情^{1,2,4}, 胡晓飞², 王娜^{*1,2,3,4}

(1. 河南农业大学 食品科学技术学院, 河南 郑州 450002; 2. 河南省农业科学院 动物免疫学重点实验室, 河南 郑州 450002; 3. 农业农村部大宗粮食加工重点实验室, 河南 郑州 450002; 4. 郑州市营养与健康食品重点实验室, 河南 郑州 450002)

摘要: 为制备及鉴定 1-芘丁酸(1-pyrenebutyric acid)人工抗原。采用碳化二亚胺(EDC)法将 1-芘丁酸与牛血清白蛋白(BSA)和鸡卵清白蛋白(OVA)进行偶联, 合成人工免疫原 PBA-BSA 和人工检测抗原 PBA-OVA; 紫外扫描及 SDS-聚丙烯凝胶电泳(SDS-PAGE)结果显示抗原制备成功; 鼠源多抗血清的效价均已超过 1 000, $IC_{50}=14.31 \text{ ng/mL}$; 与多环芳烃 1-芘甲醇、1-芘甲醛、芘的交叉反应率小于 14.40%, 与菲、萘、苯并芘、BSA 以及 OVA 交叉反应率均小于 0.05%。作者成功制备出了 PBA-BSA 抗原, 并且得到了敏感性良好的鼠源多抗血清, 为后期单克隆抗体的制备及免疫学快速检测方法的建立奠定基础。

关键词: 1-芘丁酸; 鼠源多抗血清; 人工抗原; 交叉反应率

中图分类号:S 859.84 文章编号:1673-1689(2021)12-0099-06 DOI:10.3969/j.issn. 1673-1689.2021.12.012

Preparation and Identification of 1-Pyrenebutyric Acid Artificial Antigen

KONG Mengmeng^{1,2,3}, HUANG Zhongmin^{1,3}, DENG Ruiguang²,
SUO Biao^{1,3}, LIU Qingqing^{1,2,4}, HU Xiaofei², WANG Na^{*1,2,3,4}

(1. College of Food Science and Technology, Henan Agricultural University, Zhengzhou 450002, China; 2. Key Laboratory of Animal Immunology, Henan Academy of Agricultural Sciences, Zhengzhou 450002, China; 3. Key Laboratory of Staple Grain Processing, Ministry of Agriculture and Rural Affairs, Zhengzhou 450002, China; 4. Zhengzhou Nutrition and Health Food Laboratory, Zhengzhou 450002, China)

Abstract: The preparation and identification of 1-pyrenebutyric acid artificial antigen was investigated in this paper. 1-pyrenebutyric acid was coupled to bovine serum albumin (BSA) and chicken oval albumin (OVA) using the carbodiimide method (EDC) to synthesize the artificial immunogen PBA-BSA and artificial detection antigen PBA-OVA. The results of UV scanning and polypropylene gel electrophoresis (SDS-PAGE) showed that the antigen was successfully prepared. The potency of mouse-derived polyantiseras was more than 1 000 with IC_{50} of 14.31 ng/mL. The cross-reactivity with polycyclic aromatic hydrocarbons 1-pyrene methanol, 1-pyrene formaldehyde and pyrene was less than 14.40%, and the cross-reactivity with phenanthrene, naphthalene,

收稿日期: 2020-04-18

基金项目: 国家“十二五”科技支撑计划项目(2014BAD13B05); 农业部动物免疫学重点实验室开放课题项目(PKLA20170606)。

*通信作者: 王娜(1979—), 女, 博士, 副教授, 硕士研究生导师, 主要从事食品免疫与营养学研究。E-mail:na-wang@163.com

benzopyrene, BSA and OVA was less than 0.05%. PBA-BSA antigen was successfully prepared, and a sensitive murine multi antiserum was obtained, laying the foundation for the subsequent preparation of monoclonal antibodies and the establishment of rapid immunological detection methods.

Keywords: 1-pyrenebutyric acid, mouse polyclonal antiserum, artificial antigen, cross reaction rate

1-芘丁酸(PBA)分子式为 $C_{20}H_{16}O_2$,属于多苯环芳香烃(简称多环芳烃,是由两个以上苯环稠和而成的有机物),结构式见图1。多环芳烃具有很强的致癌性、致畸性和致突变性^[1-2],主要通过水、空气和食物进入人体,致使DNA发生突变产生癌细胞,对人类的身体健康产生巨大威胁。1-芘丁酸是多环芳烃最常见的一种衍生物,它对人体的血液和神经也存在严重危害^[3-4]。

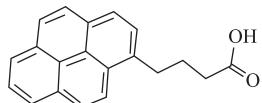


图1 1-芘丁酸的结构式

Fig. 1 Structural formula of 1-pyrenebutyric acid

常见的多环芳烃检测方法主要有色谱法、色谱衍生法、毛细管电泳法、表面增强拉曼光谱法等^[5],这些方法虽然有效,但耗时长、费用高、操作复杂、对检测人员的要求相当高,浪费人力和物力且不适用于大量样品的快速检测^[6-8]。酶联免疫吸附法(ELISA)是利用抗原抗体的特异性结合来对待测物质进行检测^[9-11],它具有简单、快速、灵敏度高、操作简单等优点,适用于大量样品的快速检测^[12-13]。因此如何实现ELISA快速检测1-芘丁酸就尤为重要。

1-芘丁酸属于小分子基团,是半抗原分子,本身不具有免疫学活性,必须将其和载体蛋白等大分子偶联在一起,合成完全人工抗原,才会产生免疫学活性。EDC法是最常见的偶联方法,其最早运用于有机化学和药化学领域。EDC化学性质相对比较活跃,可以与半抗原上的氨基或者羧基发生反应形成肽键,此方法简便,偶联效率相对较高。1-芘丁酸由4个苯环加羧酸分子稠合而成,其分子上含有活泼的羧基,因此选用EDC法将其与载体蛋白进行偶联。

通过制备1-芘丁酸人工抗原,并对其性质进行鉴定,为1-芘丁酸免疫学快速检测方法的建立奠定基础。

1 材料与方法

1.1 材料与试剂

1-芘丁酸:Alfa Aesar公司产品;牛血清蛋白(BSA)、鸡卵清白蛋白(OVA)、完全弗氏佐剂(FCA)、不完全弗氏佐剂(FIA):Sigma公司产品;PBS(磷酸盐缓冲液0.01 mol/L)、包被液CBS(碳酸盐缓冲液0.05 mol/L)、PBST(PBS与吐温20体积比为2 000:1)、封闭液(含有体积分数5%猪血清的PBST)、显色液($V_3:V_4=1:1$)、终止液(2 mol/L的硫酸溶液55~56 mL稀释至500 mL)、双蒸水等:均为河南省农业科学院动物免疫学重点实验室自制。

1.2 实验动物

SPF级BALB/c雌性小鼠(7周龄):郑州大学医学院实验动物中心提供,河南省动物免疫学重点实验室饲养。

1.3 试验方法

1.3.1 EDC法合成抗原 称取10 mg PBA溶解于1 mL二甲基甲酰胺(DMF),至质量浓度为10 mg/mL,加入等摩尔质量的N-羟基琥珀酰亚胺(NHS)和EDC,室温搅拌0.5 h;称取14.4 mg BSA溶解于2 mL PBS中,将19.5 mg OVA溶解于3 mL PBS中;将上述PBA溶液等分成2份,分别沿壁缓慢加入BSA溶液和OVA溶液,保持澄清;室温下搅拌反应72 h后装入透析袋,4℃ PBS透析3 d,一天换3次透析液,5 000 r/min离心10 min,弃去沉淀,取上清液,在-20℃冰箱中保存备用。

1.3.2 紫外扫描鉴定 配制相同质量浓度的PBA、PBA-BSA(见图2)、BSA溶液,采用紫外扫描仪观察220~350 nm处的特征值和最大吸收峰^[14]。

1.3.3 SDS-PAGE分析 采用体积分数12%的分离胶、体积分数5%的浓缩胶,蛋白质3~5 μg,上样量10~20 μL,浓缩胶电压80 V,分离胶电压100 V,考马斯亮蓝染色1~2 h,脱色过夜,中间不定时更换脱色液,拍照,根据相对分子质量大小和条带变化

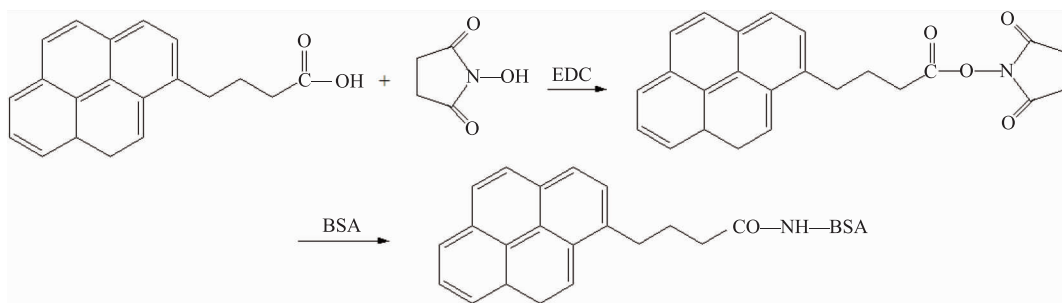


图 2 PBA-BSA 抗原合成图

Fig. 2 Synthesis of PBA-BSA antigen

判断是否偶联成功^[15]。

1.3.4 动物免疫 取 7 周龄 BALB/c 雌性小鼠 6 只, 分高、低剂量两组, 每组 3 只。采用免疫球蛋白, 高剂量组每只 40 μg, 低剂量组每只 10 μg, 每只背部皮下多点注射 200 μL。抗原用高压灭菌 PBS 稀释并与等量的弗氏佐剂混合, 第 1 次免疫用完全弗氏佐剂(FCA), 第 2 次到第 4 次用不完全弗氏佐剂(FIA)。用乳化器将其乳化到取一点放入水中, 不再散开或者散开速度缓慢即可。每次免疫间隔 3 周, 免疫 4 次。

1.3.5 多克隆抗体的制备及鉴定 第 4 次免疫 10 d 后, 对小鼠进行断尾取血, 每只小鼠尾部采血 10 μL 溶到 990 μL PBS 中, 冷冻离心机 5 000 r/min 离心 10 min, 取上清液得到多克隆抗体(PBA-pAb), 并对其效价和抑制价进行测定。用包被液 CBS 稀释包被原 PBA-OVA, 包被原质量浓度为 4 μg/mL, 每孔 50 μL, 置于 37 °C 恒温箱 2 h, PBST 洗板 6 次晾干, 加入含有体积分数 5% 猪血清的封闭液, 每孔 175 μL, 置于 37 °C 恒温箱内 1 h, PBST 洗板 6 次, 晾干, 置于 4 °C 冰箱中备用。

1) PBA-pAb 效价的测定 采用 ELISA 法对 PBA-pAb 的效价进行测定。每孔加入 50 μL PBS, 取 50 μL 稀释 100 倍的 PBA-pAb 加入第 1 孔, 依次向下倍比稀释, 设有阴性孔(NC)和空白孔(BC), 置于 37 °C 恒温箱内 15 min, PBST 洗板 6 次晾干。羊抗小鼠酶标二抗(GaM IgG-HRP)和体积分数 5% 猪血清的 PBST 以体积比 1:1 000 混合, 每孔 50 μL, 置于 37 °C 恒温箱内 30 min, PBST 洗板 6 次晾干。加入显色液, 每孔 50 μL, 避光显色 10 min。加入终止液, 每孔 50 μL。若待测孔的 OD₄₅₀ ≥ NC 孔 OD₄₅₀ 的 2.1 倍且待测孔的值大于 0.2, 则说明待测孔为阳性^[16], 以阳性孔最小 OD₄₅₀ 所对应的多抗血清

稀释倍数作为血清效价。

2) PBA-pAb 抑制价的测定 采用阻断 ELISA 对 PBA-pAb 的抑制价进行测定。加入 OD₄₅₀ 在 1.0 左右的 PBA-pAb, 每孔 50 μL, 加入不同质量浓度(分别是 600、300、150、75、37.5、18.75、9.375、4.6875、2.344、1.72、0 ng/mL(阳性孔))的 PBA 标准品作为抑制剂, 每孔 50 μL, 设有阴性孔(NC)和空白孔(BC), 其余操作过程与步骤 1)一致。以 PBA 溶液质量浓度的 lg 值为横坐标, 抑制价为纵坐标, 绘制出抑制曲线的变化图, 根据抑制曲线推导出回归方程, 得出 PBA-pAb 对 PBA 50% 抑制时的 PBA 质量浓度(IC_{50}), 以此来衡量多抗血清的敏感性高低。PBA-pAb 抑制价的计算公式如下:

$$S=B/B_0$$

式中: S 为 PBA-pAb 抑制价; B 为 PBA 不同质量浓度时待测孔的 OD₄₅₀; B_0 为 PBA 质量浓度为 0 时待测孔 OD₄₅₀。

3) 多抗血清特异性测定 采用间接竞争 ELISA 测定 PBA-pAb 与 PBA 的类似物 1-芘甲醇、1-芘甲醛、苯并芘、菲、萘、芘以及 BSA 和 OVA 之间的交叉反应, 具体操作过程与步骤 2) 相同。

2 结果与分析

2.1 紫外扫描鉴定

紫外扫描法是通过分析抗原与载体蛋白在 220~350 nm 波长范围内最大吸收峰的差别来判断是否偶联成功。当其最大吸收峰发生偏移时, 吸收波长没有重合, 则证明抗原偶联成功^[19~20]。BSA、PBA-BSA、PBA 在 220~350 nm 处的波长变化见图 3。BSA、PBA-BSA、PBA 的最大吸收峰出现变化, PBA-BSA 与 BSA 和 PBA 的吸收峰并没有发生重合, 初步证明抗原偶联成功。

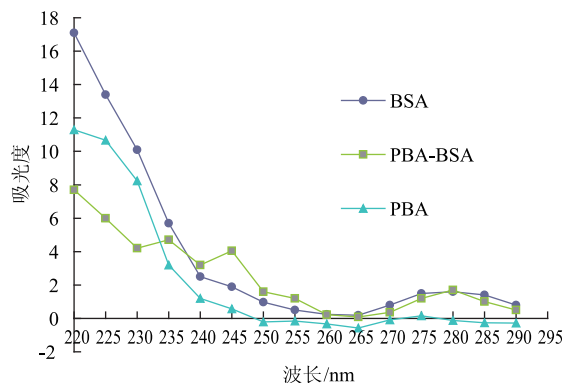


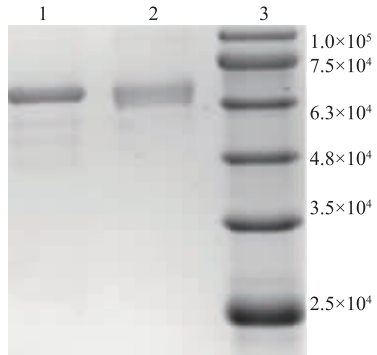
图 3 BSA、PBA-BSA、PBA 紫外扫描鉴定图

Fig. 3 UV scanning identification of BSA, PBA-BSA and PBA

2.2 SDS-PAGE 鉴定结果

SDS-PAGE 鉴定法则是通过观察抗原分子与载体蛋白相对分子质量的大小以及目的条带的位置来判断是否偶联成功。当目的条带出现明显的拖尾现象或位置发生偏移时，则证明抗原偶联成功。由图 4 可知，BSA 的泳动速度明显大于 PBA-BSA 的泳动速度，PBA-BSA 的相对分子质量大于 BSA

的相对分子质量，初步证明抗原偶联成功。



1:BSA;2:PBA-BSA;3:彩虹 180 广谱蛋白。

图 4 SDS-PAGE 电泳结果图

Fig. 4 Sodium dodecyl sulfate polyacrylamide gel electrophoresis (SDS-PAGE) result

2.3 PBA-pAb 的鉴定结果分析

2.3.1 PBA-pAb 效价的测定结果 由表 1 可知，6 只小鼠之间存在差别，其中效价最好的是 L1、H1、H2，可高达 12 800。其中 L2、L3、H3 稍微低一些，但 6 只小鼠免疫效价均已超过 1 000，说明对 6 只小鼠进行免疫原注射后，免疫效果良好。

表 1 PBA-pAb 效价的测定结果

Table 1 Results of PBA-pAb titer

稀释倍数	OD ₄₅₀					
	L1	L2	L3	H1	H2	H3
200	1.530	0.904	1.080	1.294	1.512	1.043
400	1.354	0.852	0.920	1.026	1.347	0.809
800	0.941	0.649	0.831	0.934	1.279	0.668
1 600	0.732	0.531	0.630	0.815	1.132	0.475
3 200	0.721	0.341	0.459	0.547	0.583	0.229
6 400	0.394	0.235	0.246	0.352	0.423	0.154
12 800	0.241	0.132	0.126	0.231	0.245	0.048
阴性对照	0.011	0.023	0.017	0.007	0.016	0.030
空白	0.120	0.021	0.014	0.011	0.013	0.007

注：L1、L2、L3 分别代表 1、2、3 号低剂量注射小鼠；H1、H2、H3 分别代表 1、2、3 号高剂量注射小鼠。

2.3.2 PBA-pAb 抑制价的测定结果 免疫学方法是对偶联成功的抗原免疫 BALB/c 小鼠进行断尾采血，通过测定其 PAB-pAb 是否具有效价和敏感性来判断抗原是否偶联成功。由表 2 可知，6 只小鼠对 PBA 均有抑制，其中 H1 小鼠的抑制效果最好。从图 5 可知，其线性回归方程为 $y=-0.35411x+0.9061$ ， $R^2=0.9736$ ，其中， x 为 $\lg \rho_{\text{PBA}}$ ， y 为抑制价，曲线斜率越大， IC_{50} 越小，即制备的抗体越敏感。通过标准曲线求得 $IC_{50}=14.31 \text{ ng/mL}$ 。综合来看，H1 小鼠的

PBA-pAb 对 PBA 最为敏感，同时也进一步验证了紫外扫描和 SDS-PAGE 的结果，证明抗原偶联成功。

2.3.3 PBA-pAb 特异性测定结果 PBA-pAb 特异性测定结果见表 3。交叉反应率(CR)是指标准抗原与同标准抗原类似物与 50% 抗体结合时质量浓度的比值，即待测物 IC_{50} 与其他抑制物 IC_{50} 比值的百分数。通过 ELISA 法分别测定各抑制物的 IC_{50} ，计算交叉反应率。交叉反应率小说明抗体特异性高，高特异性可提高检测方法的灵敏度，从而决定单克

表 2 PBA-pAb 抑制价(OD₄₅₀)的测定结果
Table 2 Results of inhibition of PBA-pAb

组别	OD ₄₅₀											
	600 ng/mL	300 ng/mL	150 ng/mL	75 ng/mL	37 ng/mL	18.7 ng/mL	9.375 ng/mL	4.687 5 ng/mL	2.344 ng/mL	1.172 ng/mL	阳性对照	阴性对照
L1	0.018	0.230	0.431	0.532	0.645	0.732	0.835	0.925	1.020	1.104	1.134	0.015
L2	0.157	0.168	0.274	0.388	0.542	0.632	0.894	0.951	1.112	1.047	1.032	0.021
L3	0.066	0.102	0.193	0.262	0.338	0.436	0.574	0.695	0.798	0.869	0.977	0.013
H1	0.013	0.098	0.145	0.276	0.365	0.442	0.504	0.682	0.843	1.041	1.021	0.028
H2	0.021	0.067	0.128	0.269	0.341	0.483	0.557	0.673	0.762	0.891	0.982	0.017
H3	0.060	0.072	0.104	0.186	0.214	0.447	0.672	0.741	0.927	1.058	1.044	0.024

注:L1、L2、L3 分别代表 1、2、3 号低剂量注射小鼠;H1、H2、H3 分别代表 1、2、3 号高剂量注射小鼠。

隆抗体的真正价值。1-芘丁酸的 IC₅₀ 为 14.31 ng/mL,与 1-芘甲醇、1-芘甲醛以及芘类物质的交叉反应率≤14.40%,与菲、萘、苯并芘、BSA 以及 OVA 的交叉反应率均小于 0.05%,特异性良好。

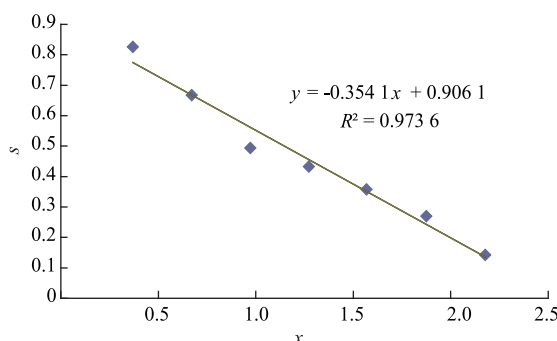


图 5 H1 小鼠抑制曲线图
Fig. 5 H1 mouse inhibition curve

3 结语

通过 EDC 法制备出 1-芘丁酸人工抗原, 经过紫外扫描鉴定、SDS-PAGE 以及免疫学鉴定方法初步证明了 PBA 人工抗原偶联成功。小鼠经免疫后得

表 3 PBA-pAb 特异性测定结果

Table 3 PBA-pAb specific determination results

化合物	IC ₅₀ /(ng/mL)	CR/%
1-芘丁酸	14.31	100
1-芘甲醇	220.89	6.40
1-芘甲醛	144.30	9.90
芘	97.25	14.40
菲	>1×10 ⁴	<0.05
萘	>1×10 ⁴	<0.05
苯并芘	>1×10 ⁴	<0.05
BSA	>1×10 ⁴	<0.05
OVA	>1×10 ⁴	<0.05

到效价高达 12 800, IC₅₀=14.31 ng/mL 的 PBA-pAb;与多环芳烃 1-芘甲醇、1-芘甲醛、芘的交叉反应率小于 14.40%,与菲、萘、苯并芘、BSA 以及 OVA 交叉反应率均小于 0.05%。1-芘丁酸人工抗原偶联成功,并制备出了敏感性良好的 PBA-pAb, 为 1-芘丁酸单克隆抗体的筛选和食品安全快速检测方法的建立奠定了良好的基础。

参考文献:

- [1] 王颖,钟慈平,付苓,等.含螺旋藻产品中多环芳烃污染状况研究[J].食品安全质量检测学报,2021,12(17):7080-7086.
- [2] BOSTROM C E, GERDE P, HANBERG A, et al. Cancer risk assessment, indicators, and guidelines for polycyclic aromatic hydrocarbons in the ambient air[J]. Environmental Health Perspectives, 2002, 110(Suppl 3):451-488.
- [3] 严伟,李乾波,杨春林,等.1-芘丁酸改性石墨烯片对环氧树脂阻燃性能的影响[J].塑料科技,2018,46(10):31-35.
- [4] IWEGBUE C M A, ONYONYEWOMA U A, BASSEY F I, et al. Concentrations and health risk of polycyclic aromatic hydrocarbons in some brands of biscuits in the Nigerian market[J]. Human and Ecological Risk Assessment, 2015, 21(2):338-357.
- [5] LI K, CHEN R, ZHAO B, et al. Monoclonal antibody-based ELISAs for part-per-billion determination of polycyclic aromatic hydrocarbons: effects of haptens and formats on sensitivity and specificity[J]. Analytical Chemistry, 1999, 71(2):302-309.

- [6] 李先国, 阎国芳, 周晓, 等. 固相萃取 - 高效液相色谱 - 荧光检测法测定海水中的多环芳烃[J]. 中国海洋大学学报(自然科学版), 2009, 39(5): 1087-1092.
- [7] 许贺, 许双姐, 柳建设, 等. 石墨烯 - 壳聚糖 - 纳米金修饰的免疫传感器应用于 1- 茴丁酸的检测研究[J]. 分析科学学报, 2017, 33(6): 757-762.
- [8] DAI Q J, JIANG X G, JIANG Y F, et al. Formation of PAHs during the pyrolysis of dry sewage sludge[J]. Fuel, 2014, 130(7): 92-99.
- [9] 于雪花, 孔金明, 李连之, 等. 基于聚 3,4- 乙撑二氧噻吩和 1- 茴丁酸构建的新型铁卟啉仿生传感器及其对邻苯二酚的催化研究[J]. 分析化学, 2014, 42(10): 1400-1407.
- [10] 李凯丽. 环境激素对人类健康的影响[J]. 环境保护与循环经济, 2014, 34(3): 19-22.
- [11] 许双姐, 吴根英, 许贺, 等. 石墨烯 - 壳聚糖复合物修饰电极构建电化学免疫传感器对 1- 茴丁酸的检测研究[J]. 分析测试学报, 2012, 31(12): 1505-1512.
- [12] HOLTHUES H, PFEIFER-FUKUMURA I, SOUND I, et al. Evaluation of the concept of heterology in a monoclonal antibody-based ELISA utilizing direct hapten linkage to polystyrene microtiterplates[J]. Journal of Immunological Methods, 2005, 304(1/2): 68-77.
- [13] 谢会玲. 牛奶中头孢类抗生素的免疫层析试纸条和 ELISA 试剂盒检测方法研究[D]. 无锡: 江南大学, 2009.
- [14] 宋予震, 董青, 邢广旭, 等. 磺胺甲恶唑人工抗原的合成与鉴定[J]. 家畜生态学报, 2017, 38(9): 66-71.
- [15] 邢云瑞, 孙亚宁, 姚静静, 等. T-2 毒素完全抗原制备及免疫学检测方法的建立[J]. 河南农业科学, 2018, 47(4): 124-129.
- [16] 王耀, 曹金博, 李铁梅, 等. 盐酸可乐定人工抗原的合成及鼠源多抗血清 ELISA 鉴定[J]. 食品与机械, 2021, 37(7): 76-80.
- [17] 宋亮, 陈丹丹. 浅谈蛋白质印迹法操作过程中的实验技巧[J]. 科技资讯, 2015, 13(21): 63-65.
- [18] 孙亚宁. 玉米赤霉烯酮免疫学快速检测技术研究[D]. 兰州: 甘肃农业大学, 2017.
- [19] 史巧巧, 席俊, 陆启玉. 苯并芘人工抗原的合成及鼠源多克隆抗血清的制备[J]. 食品科技, 2013, 38(12): 303-307.
- [20] 杨兴东, 胡晓飞, 王方雨, 等. 己烯雌酚人工抗原的合成及抗血清的制备[J]. 江苏农业科学, 2017, 45(8): 149-152.

科 技 信 息

苏州纳米所单手性碳纳米管高纯度分离技术研究获进展

单手性碳纳米管是一种颇具前途的电子和光电子材料, 具有确定的能带结构和近红外吸收发射特性, 在碳基集成电路、红外光探测器与量子光源等方面有广泛的应用前景, 有望成为下一代碳基电子的核心材料。已有较多方法(如梯度密度离心法、凝胶色谱法、双水相法)可分离得到多种单手性碳纳米管, 但这些单手性碳纳米管的直径基本在 1.1 nm 以下, 晶体管器件性能较低, 未能体现出单手性碳管的结构特性。

中国科学院苏州纳米技术与纳米仿生研究所先进材料部李清文团队在碳纳米管可控分离及器件应用领域, 发展出一系列共轭分子-碳纳米管分离体系, 可获得高纯度的半导体型单壁碳纳米管, 并在碳纳米管电子器件领域取得进展。研究团队与国内多个团队合作, 发现这些高纯度半导体碳纳米管在碳基集成电路和多功能电路领域的发展与应用。

该研究有助于更好地探究手性碳纳米管与聚合物的结构对应关系, 实现聚合物的高效筛选, 同时, 更高的单手性纯度和更好的器件性将进一步促进碳基电子和光电子学的发展。

[信息来源] 中国科学院苏州纳米技术与纳米仿生研究所. 苏州纳米所单手性碳纳米管高纯度分离技术研究获进展 [EB/OL]. (2021-11-12). https://www.cas.cn/syky/202111/t20211110_4813490.shtml